もんじゅナトリウム漏えい事故の調査状況について

平成9年1月24日科学技術庁原子力安全局原子炉規制課

もんじゅナトリウム漏えい事故の原因究明については、「もんじゅナトリウム漏えい事故調査・検討タスクフォース」(以下、タスクフォースという。)での検討を踏まえ、平成8年5月23日に報告書(以下、報告書という。)を取りまとめた。報告書は、事故の原因となった温度計の破損原因の究明について見通しが立ち、他の調査項目についても相当程度明らかになったことからまとめたものであり、事故の根幹は示されている。

報告書のとりまとめ以降も調査を継続するとしていた主要な事項は、同一設計の温度計のうち、1本だけが破損した原因及びナトリウムと床ライナ等との反応についてである。このうち、後者については、平成8年6月に実施したナトリウム漏えい燃焼実験-IIにおいて、床ライナが損傷した結果を得たことから、同実験結果の解析と併せて検討を進めた。

平成8年7月以降、6回のタスクフォース全体会合を開催し、継続調査事項について検討を進めてきたが、温度計が1本だけ破損した原因についての検討は終了しており、また、ナトリウムと床ライナ等との化学反応についても、もんじゅ事故時の反応と燃焼実験-II の時の反応それぞれに関して反応機構を解明し、技術的な検討は終了した。

1.2次系温度計が1本だけ破損した原因について

2次系温度計は全体で48本設置されており、温度計を大きく主冷却系配管に設置されているもの(10本/ループ)、補助冷却系配管に設置されているもの(6本/ループ)に分け、更に、主冷却系配管ではホットレグ(中間熱交換器出口から過熱器入口まで)、ミドルレグ(過熱器出口から蒸発器入口まで)及びコールドレグ(蒸発器出口から中間熱交換器入口まで)に分けた。

温度計の破損に関係すると思われる要素(流速、細管段付部の丸み、材料の結晶粒度、表面硬さ、振動の減衰特性、シース付熱電対の挿入状態等)を抽出して、各々について検討した。検討は A、B、C 各ループ間に条件の大きな差はないと考えられるので、C-ループについて詳細に考察した。

補助冷却系の温度計については、これまでのもんじゅの運転状態では、抗力方向の振動が発生する条件と考えている無次元流速が1以上という条件に至らないことから、破損が生じる可能性はなかったと判断した。

主冷却系の各温度計については、温度計さやの振動の減衰特性以外に大きな相違はなく、コールドレグ温度計さやの場合他のものより減衰が大きくなりさや細管部の振動振幅はもっとも小さくなった。

ホットレグ及びミドルレグの温度計では、温度計さや中に挿入しているシース付熱電対(以下、シースという。)の状況を基に検討を進め、シースが曲がって挿入されていたことと、振動の減衰との関係を考察した。その結果、シースの先端から約 150mm のところで曲がったシースが挿入されている場合には、振動の減衰が小さいことが判明した。同時にシース外表面に残されていた摺動痕とシースの曲がり方との関係を考察した。

それらの結果から、破損した温度計では、シースが、振動の減衰が小さくなる曲がり方 をして挿入されていたことが1本だけ破損した原因であるとの結論を得た。

2. ナトリウムと床ライナ等との反応について

報告書において、換気空調ダクトとグレーチングが損傷した原因をナトリウム酸化物と 鉄または鉄酸化物とが反応して複合酸化物を形成したことに起因すると推定した。動燃の 大洗工学センターで、ナトリウム漏えい燃焼実験-Iと II が実施され、前者ではもんじゅ事 故時と類似の堆積物が形成されたものの、換気系の目詰まりにより1時間30分程で実験 を中止した。後者においては、3時間42分ナトリウムを漏えいさせたが、形成された堆積 物は極めて薄く、堆積状態ももんじゅ事故時とは異なるものであり、かつ、床ライナが損傷 した。

両実験とも堆積物の分析において、ナトリウム・鉄の複合酸化物の形成が確認でき、換気空調ダクト、グレーチング及び床ライナとも熱により溶融する温度には至っていないことから、化学反応による鋼材の損傷が明確になった。

もんじゅ事故の場合と燃焼実験-IIとを比較すると、換気空調ダクト、グレーチング、床ライナの位置関係は合わせているが、実験装置の大きさ、観察のためのカメラ設置及びカメラ前面への空気の吹き込み、コンクリート壁の配置状態等において条件が相違していた。

堆積物の成分分析により、燃焼実験-IIでは、水酸化ナトリウムが多量に存在したことが判明した他、鋼材の損傷部分の分析で選択的な腐食が認められるとともに、グレーチングの減肉形態がもんじゅ事故時と相違していた。

これらの点に着目して反応の過程を考察した結果、

- 1) もんじゅでナトリウム漏えいが発生した配管室と実験装置との大きさの違いにより、 実験装置内部の温度の方が高くなり、コンクリート壁の温度も実験装置の方が高く なった。
- 2) コンクリート壁からの水分放出及び換気空調系からの水分供給を合わせた水分量が 燃焼実験-II の方が多くなった。
- 3) 水分は、漏えいナトリウムのエアロゾル(酸化ナトリウム又は過酸化ナトリウム)と反応して水酸化ナトリウムとなるが、燃焼実験-II ではエアロゾルと反応しなかった余剰水分が生じ、その水分が堆積物に作用し水酸化ナトリウムが形成された。
- 4) もんじゅ事故の場合は、酸化ナトリウムを含むナトリウムの溶融体が形成され、燃え 尽きた酸化ナトリウムが下側に層をなし、そこに滴下した未燃焼ナトリウムが存在し

た状態で酸化ナトリウム層に浸み込みながら燃焼した。この環境下で、鉄が酸化ナト リウムと反応することで複合酸化物を形成し、軽微な腐食が生じた。

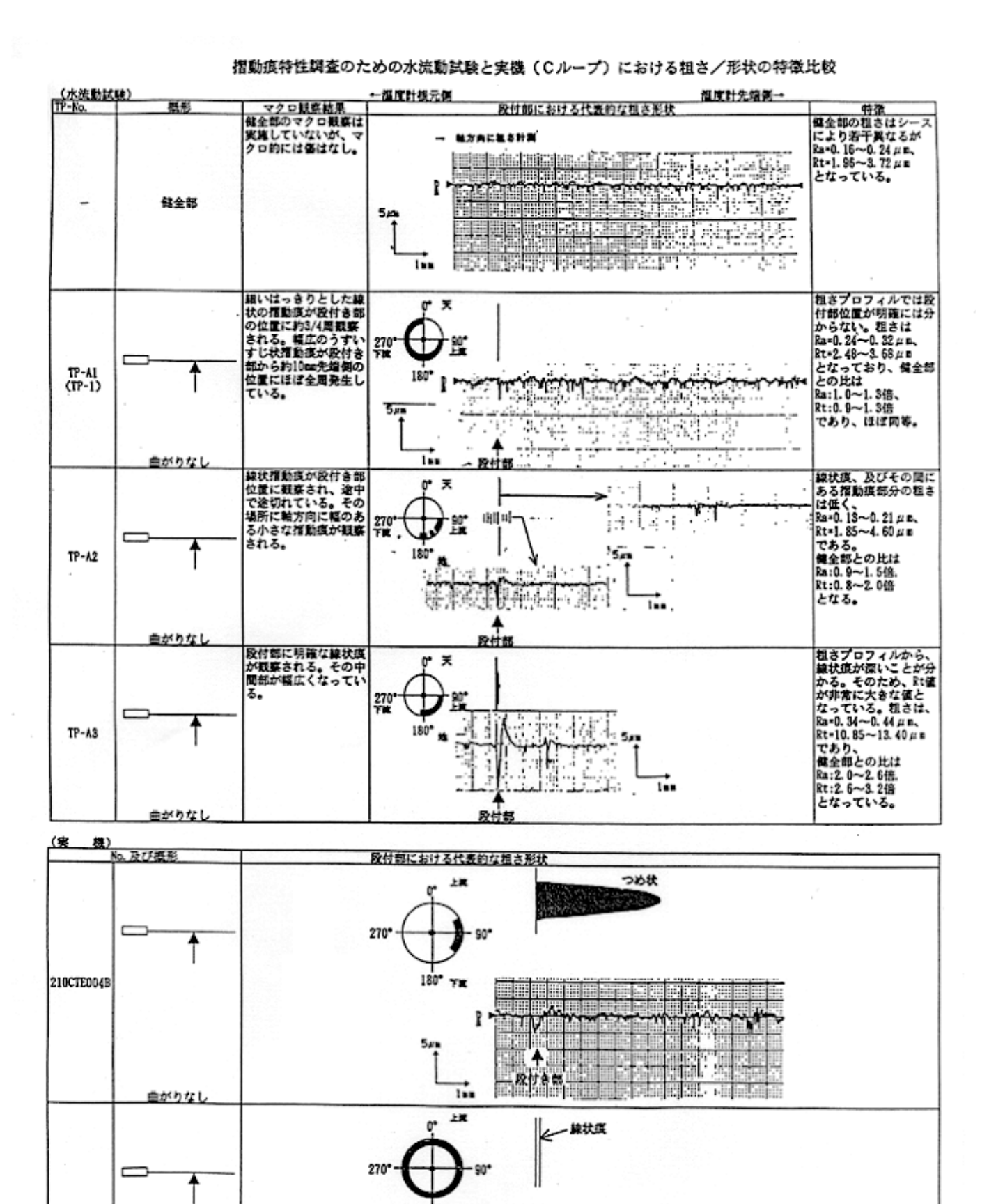
燃焼実験-II の場合は、水酸化ナトリウムの溶融体が形成され、その上で未燃焼ナトリウムが滴下して燃焼し、酸化ナトリウム及び過酸化ナトリウムが水酸化ナトリウム溶融体中に溶け込んだ状態となった。この溶融体中で過酸化ナトリウムが解離することで発生する酸素イオンが鋼材を腐食させた。

5) もんじゅ事故の場合、ライナに 1 mm 強の部分腐食がみられ、一方、燃焼実験-II では、ライナに穴があいたが、それぞれの腐食機構は異なるものであった。ナトリウム中に酸化ナトリウムを溶け込ませた溶融体を水酸化ナトリウム中に過酸化ナトリウムを溶け込ませた溶融体を用いて実施した鋼材の腐食試験の結果から推定した腐食速度からみても、もんじゅ事故時の床ライナの減肉及び燃焼実験-II での床ライナ損傷が可能である。

との結論を得た。

2 次系温度計の個体差に関する調査概要

		,		次系温度	計の個体差に関する調査概要						
項目	預助冷却茶	ホットレグ	主冷却系	コールドレグ	. 对发程算						
200℃、100%減量 運転時減速、m/s (無次元速速 Vr=V/(和))	0.60 (約0.23) 抗力方向援助 は発生せず	5.2 (#32.0)	5.2 (#)2.0)	5.2 (ř 92.0)	主治起系各レグ間で建選の差は無い。()はき製が発生したと考えられる200℃等温度転状 起での速速を参照した無次元速速。対称異数出を伴う成力方向延動は、Vr>1.2程度から 生じる。したがって、複数冷却系では核力方向振動は発生しないと考えられる。						
发言法		TE1よりTE2 は数回波大	TE3A,38は数 回流成分ほと んど無し	TE6は当ば越 より数回進大	可請当試器 (CループTE1) の舞型達成分は約20% (15スケール水試験の結果)。その他の変図達成分の大きさは、エルボからの距離で変性的に判断した。 水流動試験の結果では質型運が援動機構に与える影響は小さい。また、破損部が長も変型達が大きい訳ではない。コールドレグのTEA人4B,4C,5A,5Bは質型流成分ほと人ど無し。これらから、数回達による核力方向援動の基準は小さいと考えられる。						
温度 重6時間		200℃ (定格運転時 505℃)	200℃ (定格運転時 459℃)	200℃ (定格運転時 325℃)	き裂が父生したと考えられる100%決量運転状態は客運運転であり、今回の破損に関して は運転速度の差の影響は小さいと考えられる。Cループの100%決量運転時間はABループ のそれよりも10~30時間難い。このことから、運動時間の差がき裂発生に差進をもたり したことは考え難い。						
新智直任 (受入時後宝裝業)	1	10.2~ 10.5mm	10.0~ 10.5mm	10.4~ 10.5mm	被損当就達度計さやの期間運任の関定結果は、受入時核変、事故後の損変とも 10.4 mm である。 損管値径のバラフキは小さく流力援助に与える影響は小さいと考えられる。						
創業股村部のR		当該温度計で は0.1mm、 Cループの TE2では - 0.13mm	Cループの TE3Bでは 0.13mm	Cループの TE6では 0.14mm	被損当数温度計の日は0.1mm、Cループから切り出したその他の温度計では0.13~ 0.14mmと実適されている。この程度の差では、疲労速度の経滅の根違に与える影響が小さいと評価される。						
テーパ色の被車		当該温度計で は約5.0mm、 Cループの TE2では 約4.7mm	Cループの TE3Bでは お55.9mm	Cループの TEeでは IOLSmm	設計上の公称値3mm。標準が公務値3mmに対し1/2~2倍となっても固有複動数は0.91~ 1.04倍となる程度との計算数量が得られており、影響は小さい。板原は発生応力に影響するが、破損当該運度計の極度が特に小さいとの實施運は得られていない。(板準はUTにより過走した数値(更方向平均)である。)						
材料の模様強度 耐力(Kgilmm ²) 引張強き(Kgilmm ²)		22~23 54~56	22~23 54~56	22~26 54~58	耐力、引張強さに疲労強度に影響を及ぼすが、過数さやの材料は威格要求値を満足している。破損さやの材料の耐力22Kgblmm ² 、引張強さ54Kgblmm ² であり、他との有意基立し。						
材料の単基粒度		当は温度せては CループのTEC 的150pm	#約170 µm 5(PKX入口運用	(II) 7#	型大林品校は成労法度を任下させる傾向にある。破損当該させは終品校度が比較的大きいがHX入口と大量は無い。切出したさやから採取した使小試験片の疲労試験では成労寿命に異常なし。また、ミルシートの材料法度を見る限りは影響にあまりない。なお、材料法度のバラツキは非常に重要であるが、減度定数が1%の場合、基準度労補係は解核できる。						
材料の製処理時間		当は温度計的 3hr、その他 約1.6~3hr		比較的長時間の熱色理により強度が低下した可能性は否定できないが、ミルシートの引導 速度を見る限り差は小さい。また、当該速度計のみが特に無色理が長いという訳ではない。 切出したさやから採取した機小試験片の直分試験でも複分表命に異常なし。							
機械加工 - 新医硬き - 新国型さ - 技術の力		高型は 外表記 ・ 大程部外記 ・ 投替型外 ・ 投替を ・ ・ ・ ・ ・ ・ ・ ・ ・ ・ ・ ・ ・ ・ ・ ・ ・ ・ ・	東面近線硬を は外硬を 150- に硬化製庫を (すべり換機) (すべり換機を 130- (対機を 130- (対機を 150- (すべり換機を 150- (すべり換機を 150- (すべり換機を 150- (すべり換機を 150-	~160Hv 最大500 μm 30 μm) 6170Hv ~160Hv 6150Hv 0Hv 最大500 μm	HO(出入口のさや大後部の硬き試験結果には有意な差なし。HO(入口のさや大後部と設計 部の硬き試験結果にも有意な差なし。会相による大様部の第二層の厚さにもHKX出入口で 差はない。よって、概要硬きに関しては影響は少ないと推定される。 高楽組さおよび残智的力については、破損当該運攻計とその他の運成計(2 次系 C ループ のHO(入口、連熱部出入口速度計の3 本)のさやと差はほとんど無い。よって、加工の影響については差はないと推定される。						
2489		最後当は然にお	ける関有疾動	вирз 4 н г	さやの関有複数数に対して、破損当該部の1次の倉棚間有質数数は十分に小さく倉棚減と の運収複数が生じる可能性は低い。(ABループとも同様)						
ニップル長さ (仮動モード)		ニップル英 ま:185mm	ニップル 兵 き:160mm	振幅は小さく	ニップル長さの違いが変数モードに影響を及ばす。ホットとミドルレグでは差は小さいが、コールドレグでは、2次モードにおけるニップル側の姿勢が離在化し、複算減失も大きくなるため、状力方向の姿勢の搭幅が小さくなり、減衰支数さが0.5%を終えると、実績疾労債保係数はD ₁ <1となる。						
XXNII		る程度のバラ? ースに曲がりが 減衰変数は約1 スに曲がりがあ		\ /	減数特性が原労損傷に与える影響は大。ネットレグ速度計では、減多定数が0.5%と1.0% の場合の設付部展所でする重幅は、それぞれ約0.17%および0.04%であり、対応する事材 度労損傷係数はそれぞれ約1.000および0と、大きな基準になって現れる。 減更定数が同一の場合でも、ネットレグ、ミドルレグ、コールドレグの網に投資承表が大 きくなり、これに伴って進力援動に伴うひずみ無機および軍機度労損傷係数はこの順にか さくなる。減更定数そ0.5%とすると、累限度労損傷係数は、それぞれ、約1.000、3 00および0である。						
熱電対シースの 食がりが さやの質針に		は様元からの 曲がり 減衰:大→	温度計) 曲がり無し又 は模元からの 曲がり	1	熱電対シースが減度特性に与える影響は大。シースが真直又は視元から曲がっている場合 は減度効果が大きい。シースが中間部から曲がっている場合は減度が小さい。ホットレク 及びミドルレグの運度計の中で、自該破損運度計划がは全てシースが真直又は視元から曲 がっているので、減度が大きいたの無動無機が小さく、有意な度が損落を生じていない。						
ちえる影響		(密封温度計) 関数数から中 関数からの曲 がりと推定。 減衰:小一間 複数振幅:大			当該就規運度計のシースが表面の組を計測の結果、免域から約150mmの位置でシースの自分りがあったために発生したと見られる間計画の形式と聴きのプロフィルが確認された。ホットレグ及びミドルレグの温度計の中で、熱電対シースが中間部から曲がっていたのは当該被機運度計のみである。したがって、当該運度計のみが減度が小さくなったため、系影系機が大きくなり度労徒機に至ったと推定される。						



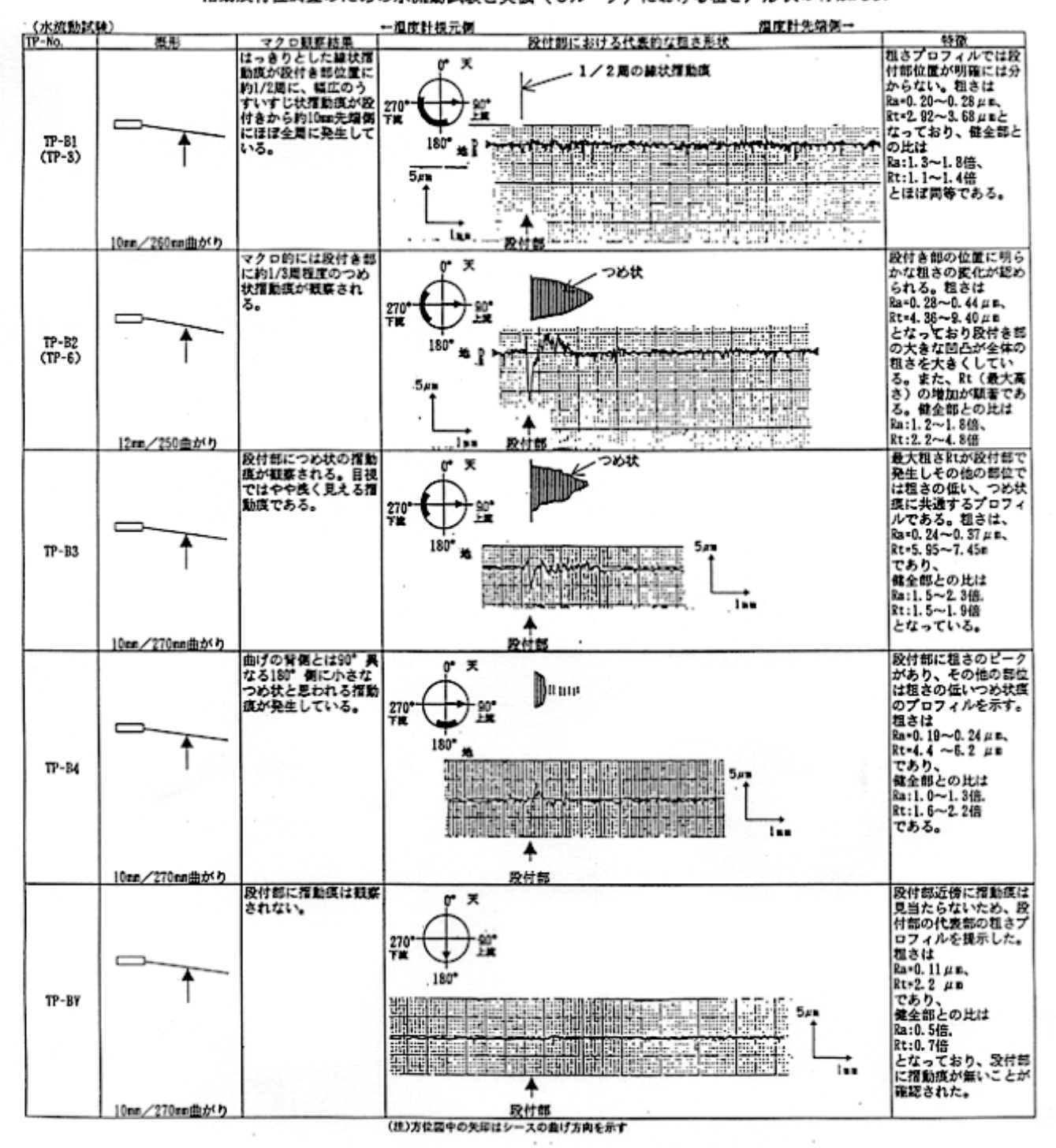
180° 7m

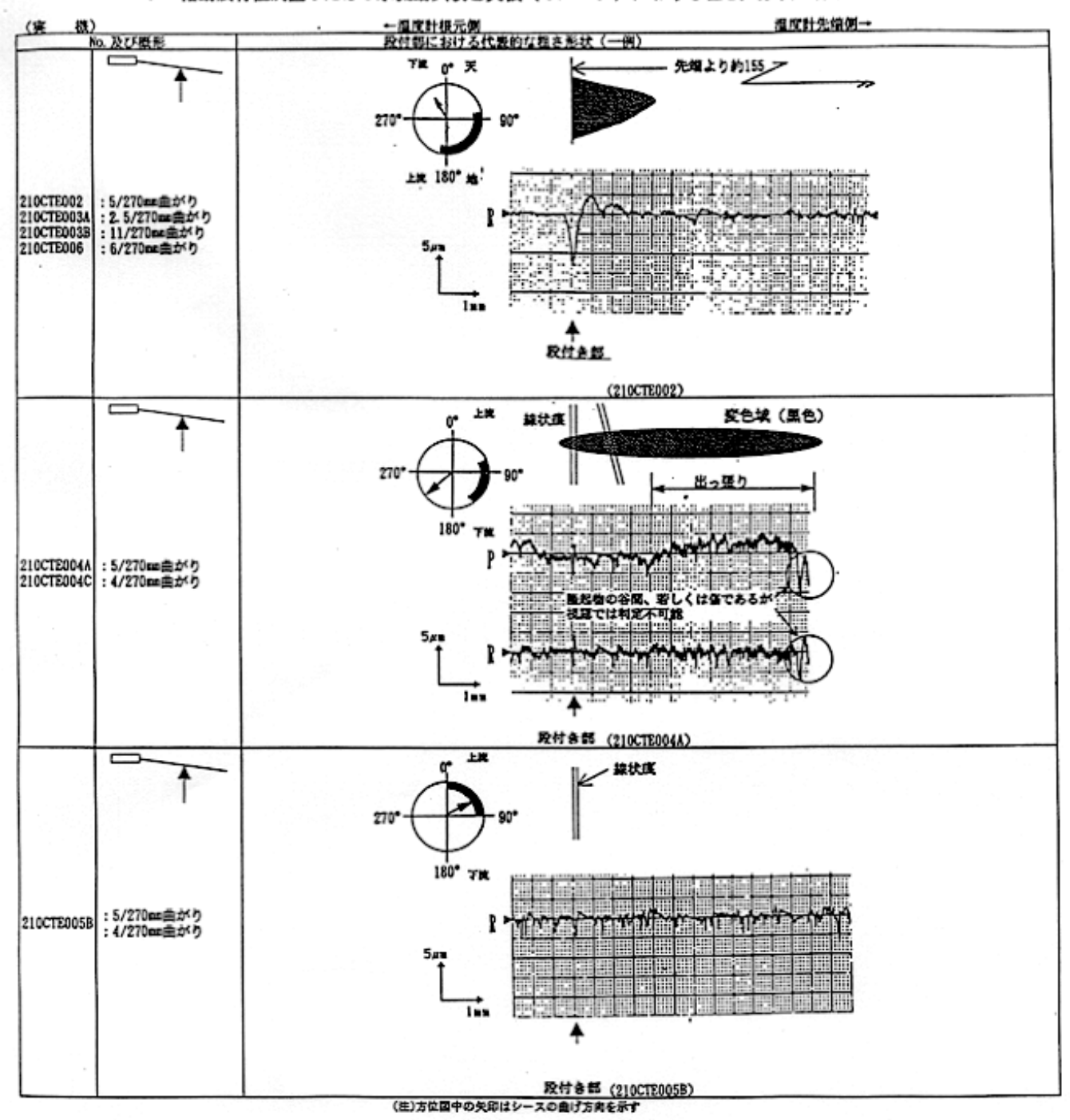
5,44

210CTE005A

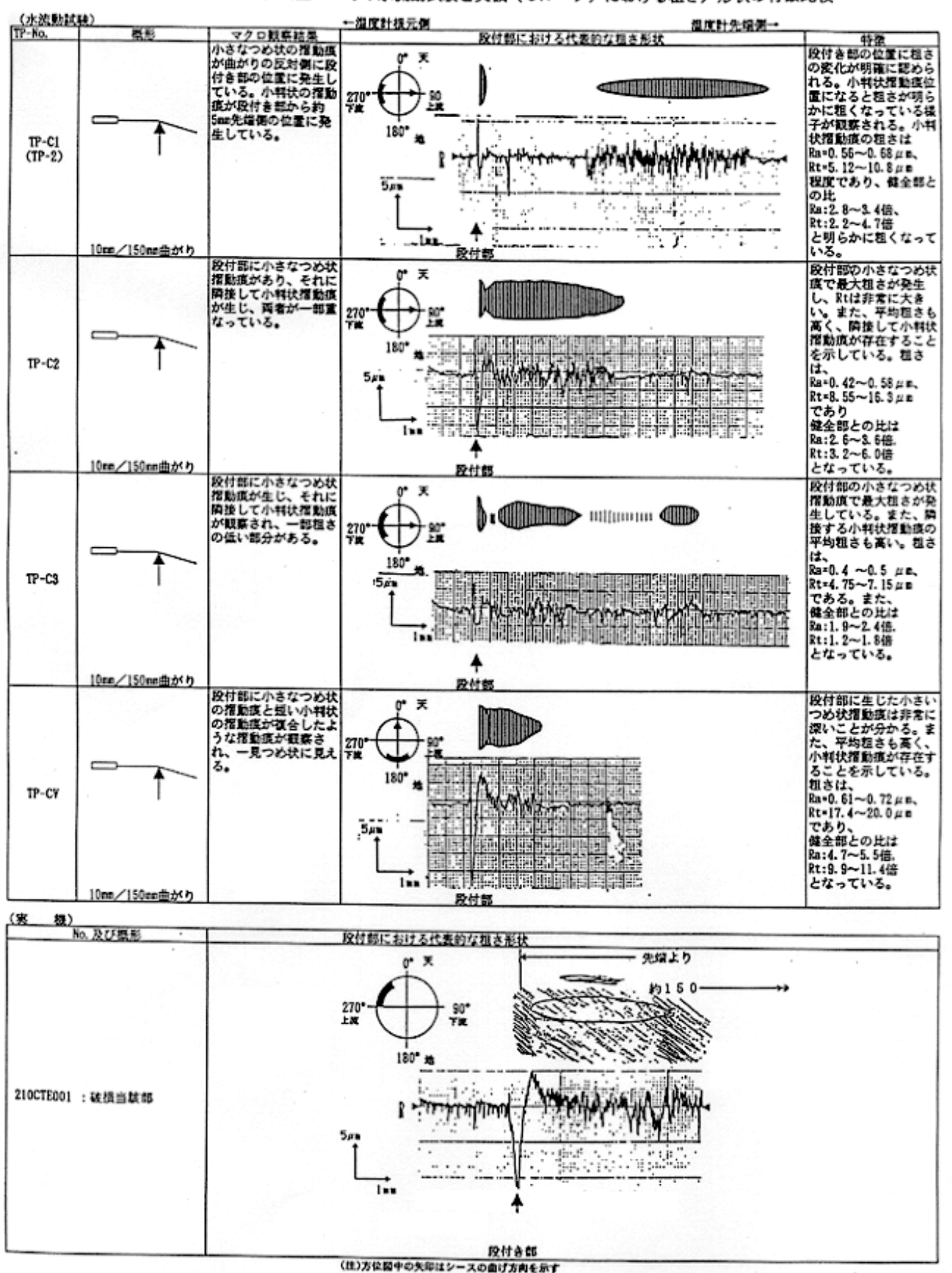
曲がりなり

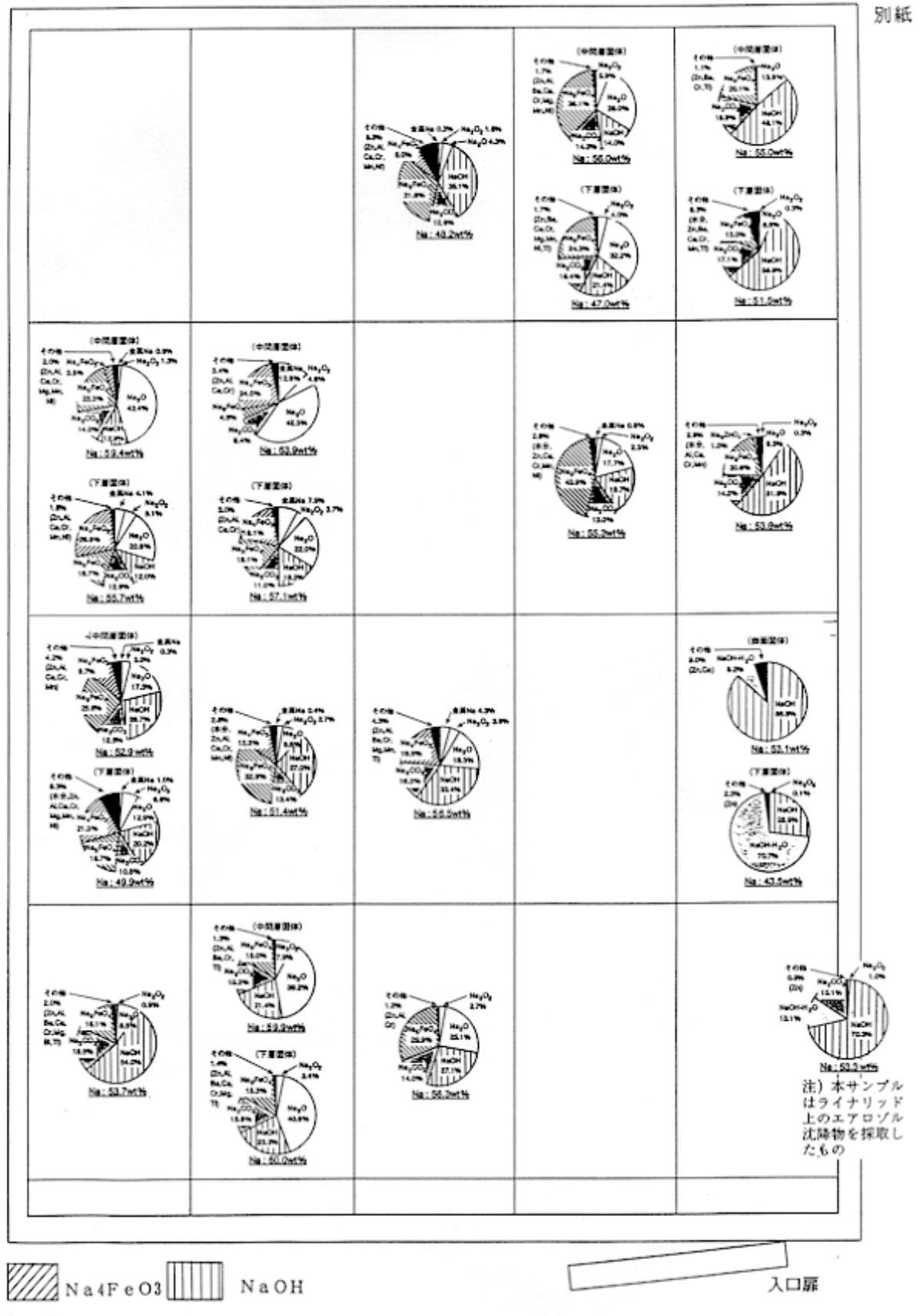
摺動痕特性調査のための水流動試験と実機 (Cループ) における租さ/形状の特徴比較





摺動痕特性調査のための水流動試験と実機 (Cループ) における粗さ/形状の特徴比較





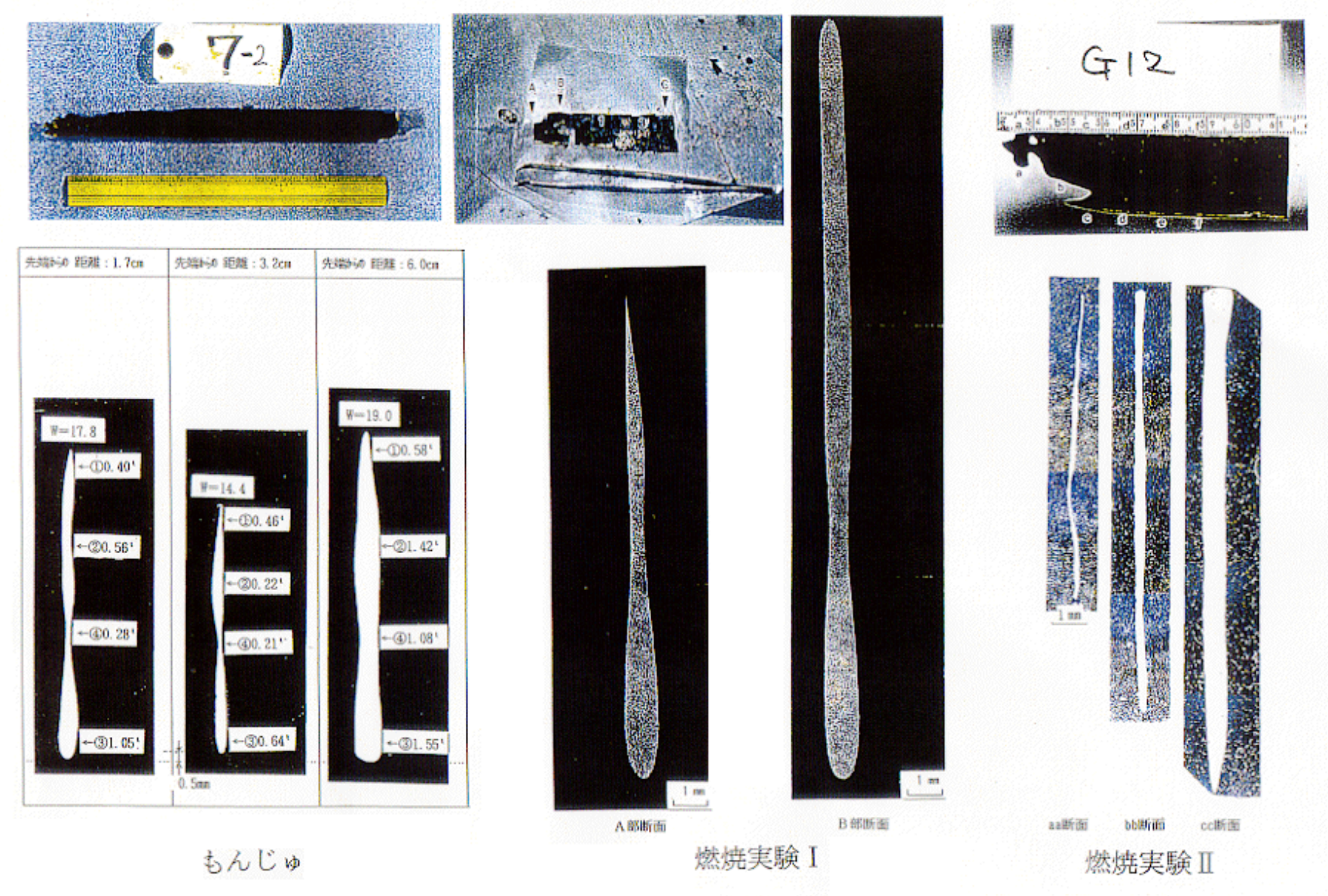
N a 5F e O4 燃焼実験 Ⅱ の床ライナ上堆積物 (下層部分) のサンプル分析結果

対象	試料採取位	ŤÆ.	計画温度	KaOli \$1°°	Na:0	Na.O.	Na CO.	a-FB	Fe ₁ 0,	Fe ₃ O ₄	Pe(OH),	MaFeO: 類・	Na FeO:	NaFe:0;	Na FeO	Na ₃ Pe ₃ O ₄	Na ₁ FeO ₃	2nO	2nFe ₂ O.	選択腐 食形態	缩 考
6	空間ダクト外担	反•'	~ 800							++							-	+		\$1R	
ん	空間ダクト外担	反付验物**					++														
ť	グレーティング	y	~ 1150				++			+							+			無	MaPeO,微微検出
	グレーティング	グ付着物**					++				1										ZnO検出
l h	床ライナ*1		~ 700				++	++												抓	Fe ₁ O ₂ 検出
	床ライナ付着を	约*3					++									-				_	Fe:0.検出
98	空間ダクト外	K.,	~ 680	++	++	++	+	++	1 29	+		. 9	+						,	無	Na , ZnO , 校出
_	空間ダクト外も	反付着物**	_	++	++		++		+			+	+.		+					_	Ha.ZnO.検出
燃	グレーティング	y.,	~ 1000				++	++	+											án	Mas,FeO,微量検出
统	グレーティング	グ付着物**		++	+								+	-						_	Na, PeO,微量検出
爽験	受け皿"		~ 750		+		++	++		++	1									無	ZnPe,O,微量検出
**		表 冠"		+	+	++	+													_	
•	受け皿堆積物	中間腦**				++	+														
		最下層"	_	+	++		+		+	+			+								Na , FeO , , CaCO , 検出 Na FeO , , Na , O , 微盘検出
	空間ダクト外を	反外侧**	~ 700				++	++		++		+		+					++	有	
	空間ダクト外科	反付着物*3		*11			++			+				+		2				_	NaPeO:, Na:FeO:微量検
	グレーティング	y.,	~- 1000				++	++						+						有	Pe,0,検山MaFeO,微肌
	グレーティング	个付着物"			1000		++														Fe ₂ O ₄ , MaFe ₁ O ₂ , ZnFe ₁ O 検出、MaFeO ₁ 委量検出
m	床ライナ数**		~ 850				++	++		+		++					+			取器	NaFe,O,,ZnFe,O,校出 Fe(OH),微量検出
爽暖	床ライナ裏・*		~ 850				+	++		+		++								関番	MaFe,O, Ma,FeO, TiO, 検出、Fe(OH),微量検出
	床表面堆積物 ·	欠損部"		++	+		++	++	+	+	++-	+	+	+	+	,+			+ .	_	Ma, Al, ZnCOs, ZnAl,Os, MaseFessOss, MasFeOs, MasZnSiOs検出, MasOs談量検出
	床真面付着物	・欠損邸**	_	+			++	+			(135) (1	+		+							Fe,O., Ma,CaSiO., 複数 Ca-Al-Si-O, Zm,Ti,O., TiO,校出
	床表面堆積物	・健全部	~ 300	++			++								+					_	NaPeO:, Na:O検出 NaPe:O:, Na:O:微鼠検!

- 注)表はX線回折結果における(存在)確からしさを++、+および±の3段階評価で料定し、+以上となった化合物を示している。 (堆積物:材料製面に堆積した物質、付着物:堆積物除去後に残った材料面と接触している部分の物質) 11: 1試料のみの分析結果は、評価をそのまま記載 12: 2試料による分析結果で、複数評価がある場合、評価の高い方を記載(表にない化合物で+以上は「備考」に「検出」、±の
- 利定で電販だと思われる化合物のみ「偏考」に「微量検出」と記載) #3: 3 試料以上による分析結果で、①++が2 試料以上で認められる:++、②++が1 試料のみ/++がなく+が2 試料以上で認められる:+、③++がなく+が1 試料のみ:「偏考」に「検出」を記載、④++および+がなく±のみの判定:重要だと思われる化合物のみ「偏考」に「微量検出」と記載、⑤表にない化合物で+以上は「備考」に「検出」と記載
- #4 : この値は温度のめやすとして、もんじゅでは推定温度のおおよその最高。
 - 実験Ⅰ及び実験Ⅱでは計測温度のおおよその最高を示したものである。
- \$5 : NaOH, NaOH+H=O
- #6 : Na.O. Na.O. +2H.O
- #7 : Ma,CO, Ma,CO,+H,O, Ma,CO,+1,5H,O, Ma,CO,+10H,O, Ma,H(CO,),+2H,O
- #8 : Fe₁O₁, Fe₁O₁+H₁O
- #9 : NaFeO:, NaFeO: HIO
- #10: 堆積物下層の 4 試料の化学分析から 2 試料でNaOliを検出
- #11: 堆積物の評価の中には一部化学分析結果も参照したものもある。

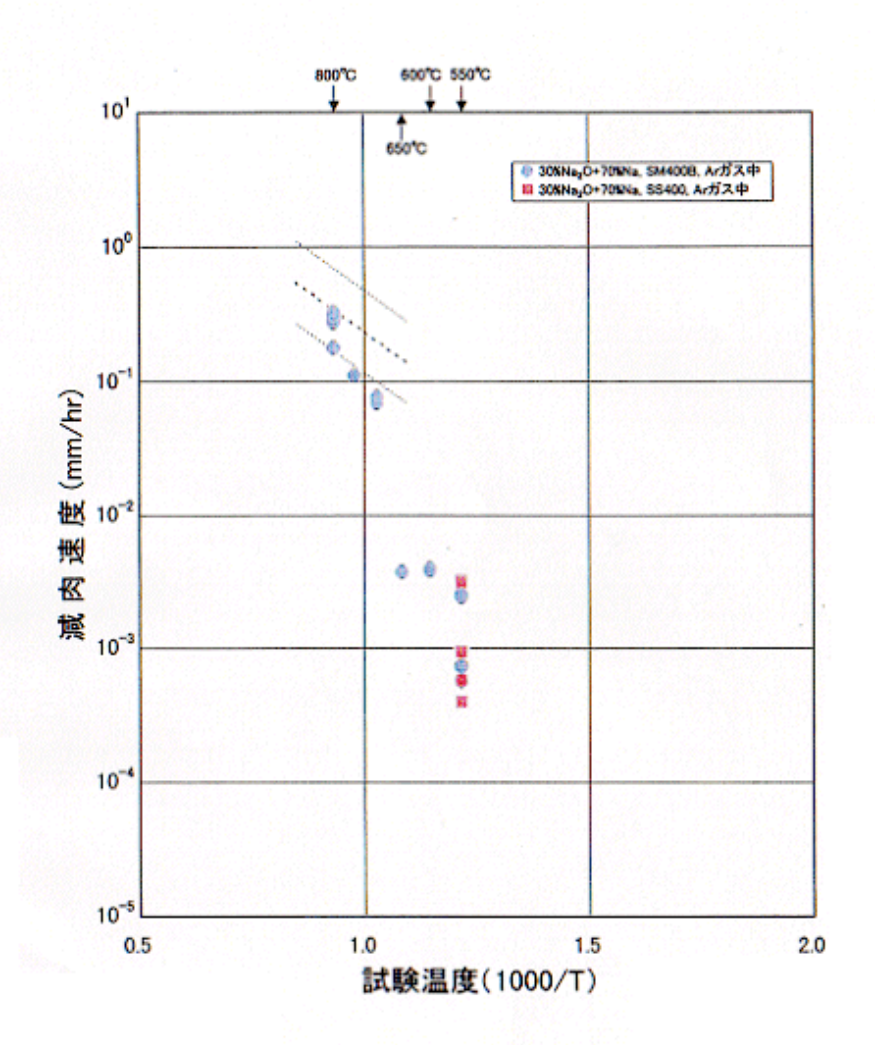
「もんじゅ」、「燃焼実験Ⅰ」及び「燃焼実験Ⅱ」の各部材料の表層断面観察結果の比較

	ダクト外板	グレーティング・プレード	床ライナ (受皿)表面
もんじゅ	50 μn	50 μπ	
燃烧寒暖 I			100,40
燃烧寒寒	To s		別紙 5

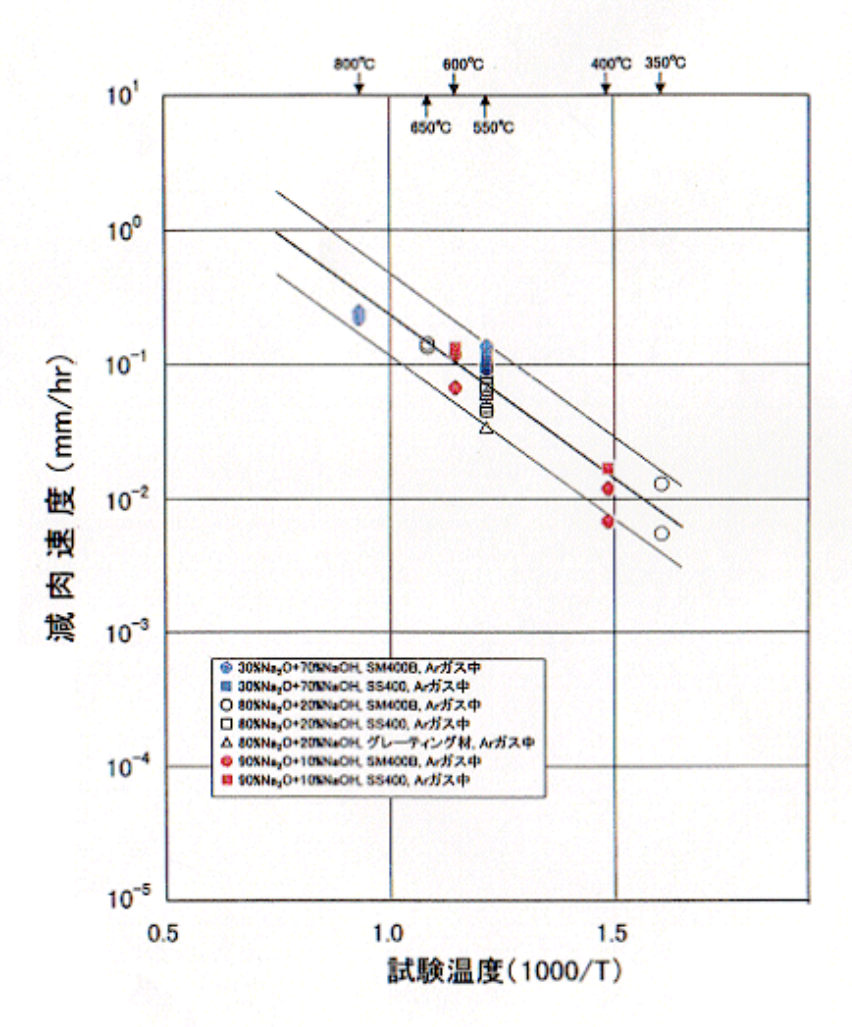


別紙 6

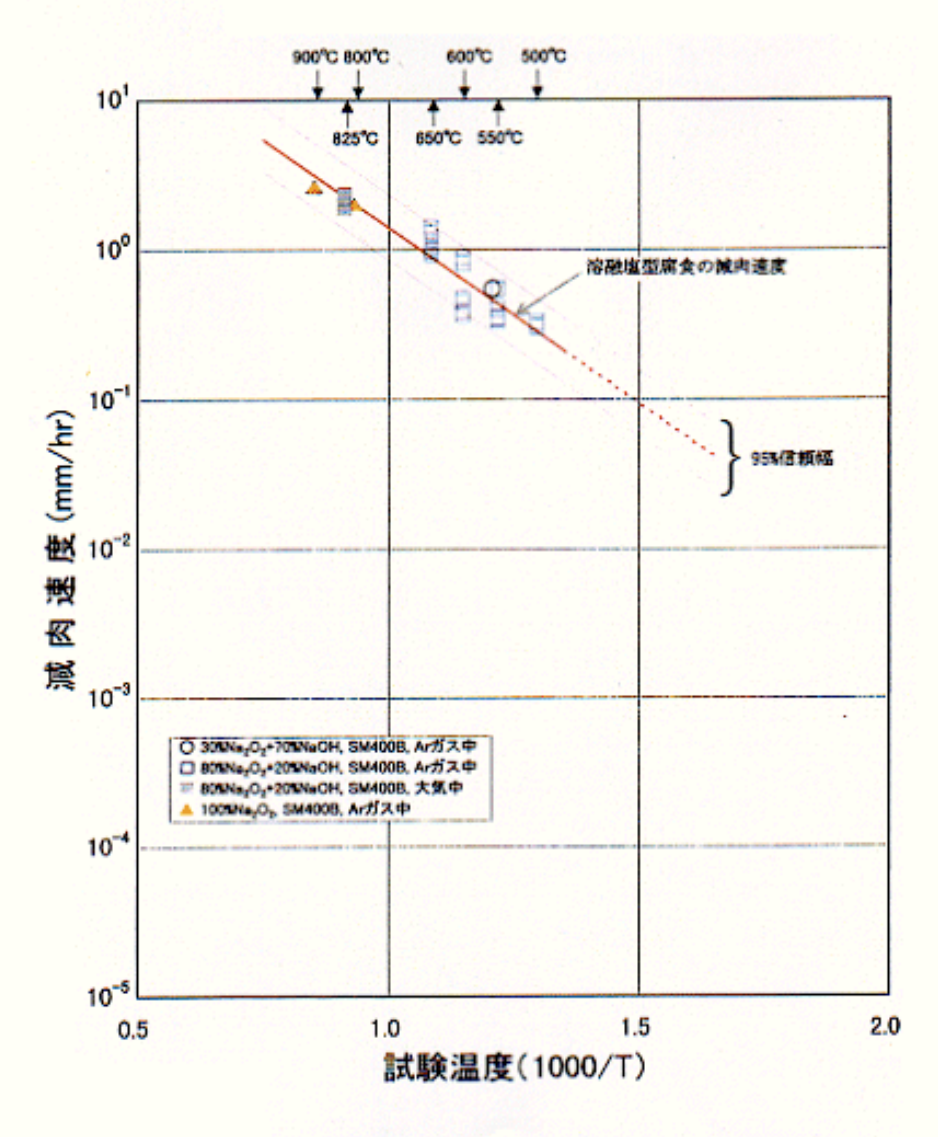




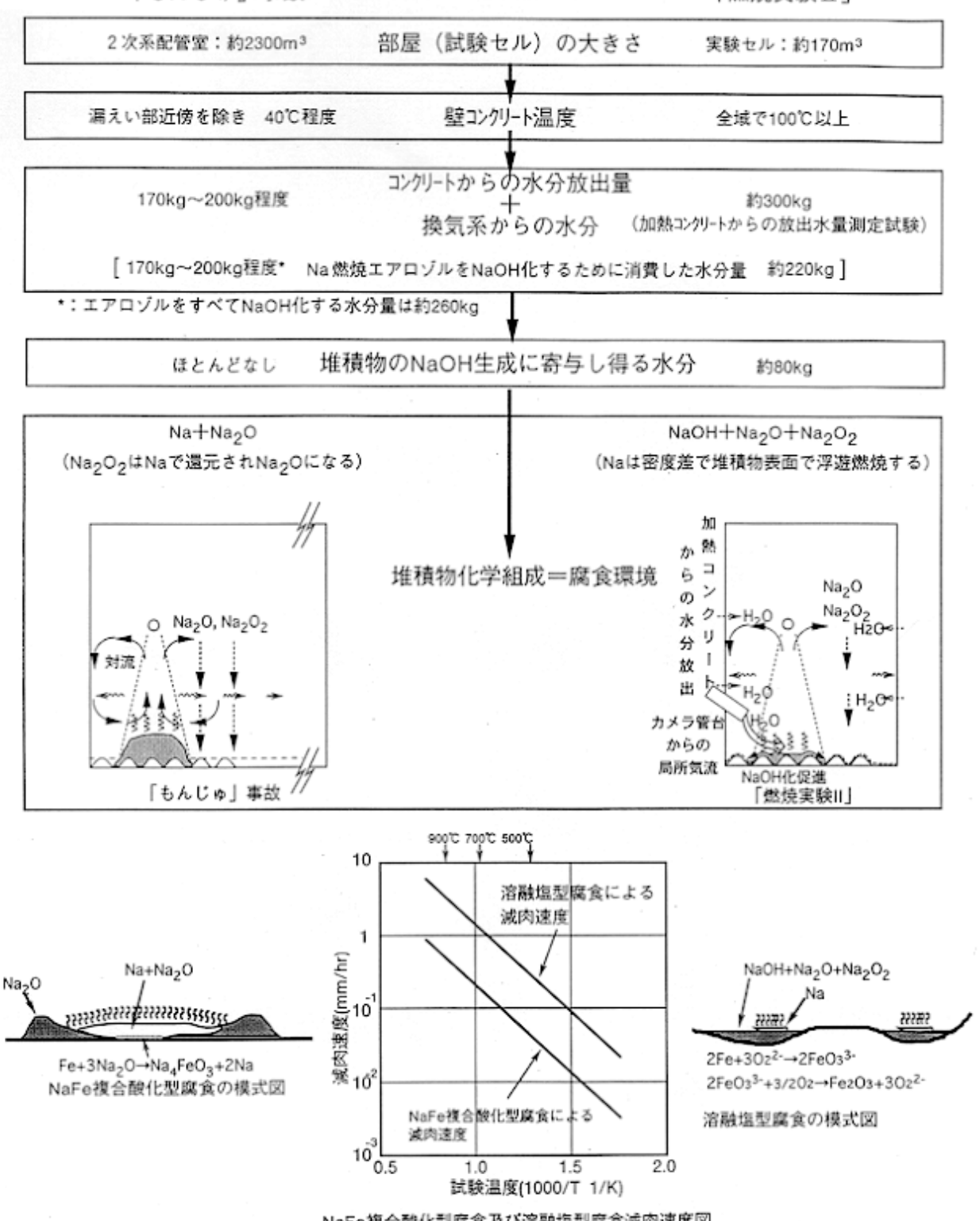
Na+Na₂O 環境試験データの温度依存性



NaFe複合酸化型腐食における減肉速度の温度依存性



溶融塩型腐食の減肉速度の温度依存性 ※図中の試薬組成は試験初期条件



NaFe複合酸化型腐食及び溶融塩型腐食減肉速度図

| 減肉速度 中央値:0.2~0.3mm/hr | 減肉量の確認 | 減肉速度 中央値:2~3mm/hr | (700~750°C) 最大値:0.4~0.5mm/hr | ライナの1~1.5mm程度の減肉は予想できる | ライナの貫通孔は予想できる範囲